

## 現場と研究室から観たチャンキー黒鉛

(株)宇部ステール 糸藤春喜

## 1. 緒言

チャンキー黒鉛の晶出は、その量によつては、製品の廃却を余儀なくされることがある。このため、その防止対策は、大物厚肉FCDを製造する上で極めて重要なポイントとなる。

これまで、研究室での晶出機構の研究と現場における現象調査とを平行して実施し、チャンキー黒鉛晶出機構の解明を試みて来た。以下に、その成果を報告する。

## 2. 晶出機構

Mg処理した鋳鉄溶湯からは、球状、CV及びチャンキー黒鉛が、同一鋳物内に同時に晶出し得る。これらの黒鉛の晶出機構は、図1に示すように、理論により統一的に説明することが出来る。

## 3. 現象の整理

理論を基準に、自社及び文献のチャンキー黒鉛の晶出現象を整理すると、表1のようになる。その要因は、多岐にわたり、複雑なよう見えるが、全ては、共通してフリーMg(F・Mg)の動向と関連がある。チャンキー黒鉛は、黒鉛晶出サイトとしての充分な気泡数と黒鉛化条件を満たすことで防止出来る。

表1 現場に観られるチャンキー黒鉛晶出要因一覧

要因	因子	具体的な原因
元湯溶製要領	①最高溶解温度 ②Si調整量とその時期	①低いとslimeの発生が多い。 ②出湯前の多量添加は、酸素、Al汚染大となる。
溶湯処理	①温度 ②合金の品位	①低;slime多い。高;低Mg歩留り、フェーディング大。 ②酸素、Al、Ca、Ce含有量が高い。
化学成分	①F・Mg ②RE、Si、Ni、Ca、Al、P、S ③Si、Ni、Cu、Mo ④CE=C+1/3Si	①SG晶出サイト数に影響。 ②F・Mgを消費し、介在物を形成。 ③共晶温度幅を広げる。 ④結果として、過共晶時に晶出し易い。
鋳込み	①温度 ②処理後の経時 ③乱流	①低温処理・鋳込みの時、晶出し易い。 ②F・Mg、接種のフェーディング。Mg気泡・介在物の凝集。 ③2次酸化によるF・Mg消費量多い。
鋳型	①発生ガス ②断熱材成分 ③乱流	① } F・Mgを消費し、介在物を形成。 ② } F・Mg、接種のフェーディング。Mg気泡・介在物の凝集。
厚肉鋳物	①凝固時間 ②凝固膨張圧	①F・Mg、接種のフェーディング。Mg沸点の上昇、Mg気泡の液化。 ②共晶温度の上昇。Mg沸点の上昇、Mg気泡の液化。

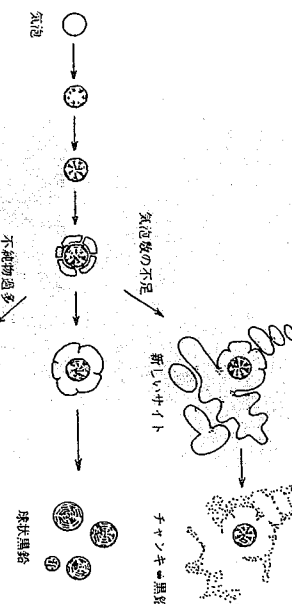


図1 球状化処理をした溶湯における黒鉛生成成長の模式図（サイト説より）

4.まとめ  
不可解極まりないとされて来たチャンキー黒鉛晶出現象ではあるが、一つの理論で整理することにより、理解出来るようになって来た。残る問題は、個々の鋳物に対する詳細な製造管理とその記録がいかに残せるかにある。

## 厚肉FCDに発生する欠陥(異常黒鉛)の対策項目

(株)宇部スチール 糸藤

### 1. 異常黒鉛=球状、CV黒鉛以外の黒鉛

- (1) チャンキイ黒鉛 Chunky graphite
- (2) 糸くず状黒鉛 Intercellular graphite, Spiky graphite
- (3) 爆発状黒鉛 Explosive graphite
- (4) 黒鉛ドロス Graphite dross
- (5) 片状黒鉛 Flake graphite (A, D, E Type)

### 2. 黒鉛の球状化を左右する工程因子

#### (1) 元湯

- ・SlimeがフリーMgを凝集・反応して消費する。  
・ブラン運動→浮遊物の凝集
- ・過剰A1, REは、フリーMgと凝集・反応して消費する。

#### (2) Mg処理

- ・フリーMg量が黒鉛球状化に影響を及ぼす。  
・T•O, RE, A1, Ca過剰剤は、フリーMgを吸収・凝集する。

#### (3) 接種

- ・黒鉛(準安定)系凝固をさせる。
- ・黒鉛粒数を増加させる。  
・Ca, A1過剰剤は、フリーMgを吸収・凝集する。

### 3. チャンキイ黒鉛の特徴

(1) 厚肉部の最終凝固域及びその周辺に晶出する。  
 $t > 50 \text{ mm}$

(2) 加工面に現れると、黒ずんだ模様(時に水玉)として識別出来る。

(3) 0.2%耐力及び回転曲げ疲労強度は、球状黒鉛材と殆ど変わらない。引張強さ及び伸びが劣る。

### 4. 球状黒鉛退化及びチャンキイ黒鉛晶出

(1) UBSが現在までに経験してきたことを中心に取りまとめ

表1 チャンキイ黒鉛晶出の要因、因子及びそれらの具体的な関与因子

#### (2) 文献データ10

- ① CE(%) < 4.2の時、晶出しない傾向に有。同 > 4.2では晶出し易い。
- ② CE(%) < 4.2で、尚且つ1380°C以上の鑄込みで晶出しない傾向。

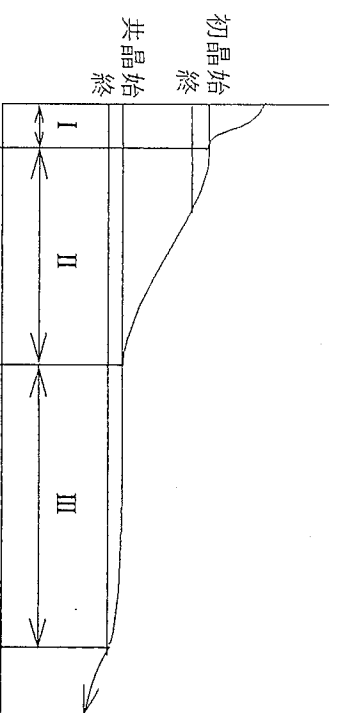
### 5. チャンキイ黒鉛晶出と微量不純物との関連

P 3フローチャート参照

表1 チャンキイ黒鉛(CG)晶出の要因、因子及びそれらの具体的な関与理由

促進要因	直接因子	具体的な関与、理由 <sup>7)</sup>				現象経験；チャンキイ黒鉛生成		
		F・Mg 消費・介在物化	介在物形成	共晶温度幅				
溶湯中の化学成分 <sup>1)</sup>	① RE (Ce)	○	○↓↓	○↓↓	① 1989年までの研究；S-proj.3150T・IM, MP、他供試材 ② 川重、タービンベーンキャリア (GGG-SiMo3.08) 確性試験厚板材 ③ 東芝、非磁性ステータ押え板 ④ 未経験、一般的に影響大とされている。RE活量増、懸濁粒子増。 ⑤ マニホールド。未断定。電磁鋼板、成継用Fe-Si、球化及び接種 ⑥ ロッカーフレーム ⑦ 川重、コンプレッサベーンキャリア (GGG40Mo) 押湯面 ⑧ F・Mg ⑨ P ⑩ S ⑪ N ⑫ CE = C + 1/3Si ⑬ Ti, Sn, As, Bi, Pb, Sb	○	○↑↓↓	○↑↓↓
	② Si	○	○↑↓↓	○↑↓↓		○印；影響多大 △印；分からず -印；影響なし		
	③ Ni	-	○↑↓↓	○↑↓↓		↑印；左；黒鉛共晶 ↓印；右；Fe <sub>3</sub> C共晶		
	④ Ca	-	○↑↓↓	○↑↓↓		↑印；左；黒鉛共晶 ↓印；右；Fe <sub>3</sub> C共晶		
	⑤ Al	-	○↑↓↓	○↑↓↓		↑印；左；黒鉛共晶 ↓印；右；Fe <sub>3</sub> C共晶		
	⑥ Cu	-	○↑↓↓	○↑↓↓		↑印；左；黒鉛共晶 ↓印；右；Fe <sub>3</sub> C共晶		
	⑦ Mo	-	○↑↓↓	○↑↓↓		↑印；左；黒鉛共晶 ↓印；右；Fe <sub>3</sub> C共晶		
	⑧ F・Mg	-	○↑↓↓	○↑↓↓		↑印；左；黒鉛共晶 ↓印；右；Fe <sub>3</sub> C共晶		
	⑨ P	-	○↑↓↓	○↑↓↓		↑印；左；黒鉛共晶 ↓印；右；Fe <sub>3</sub> C共晶		
	⑩ S	-	○↑↓↓	○↑↓↓		↑印；左；黒鉛共晶 ↓印；右；Fe <sub>3</sub> C共晶		
	⑪ N	-	○↑↓↓	○↑↓↓		↑印；左；黒鉛共晶 ↓印；右；Fe <sub>3</sub> C共晶		
	⑫ CE = C + 1/3Si	-	○↑↓↓	○↑↓↓		↑印；左；黒鉛共晶 ↓印；右；Fe <sub>3</sub> C共晶		
	⑬ Ti, Sn, As, Bi, Pb, Sb	-	○↑↓↓	○↑↓↓		↑印；左；黒鉛共晶 ↓印；右；Fe <sub>3</sub> C共晶		
元湯の溶製	① 溶解最高温度	③ なし、セル間にCG以外の糸くず状黒鉛生成。RE消費。	① 1400°C以下では、低温になる程slime(懸濁SiO <sub>2</sub> 粒子)発生 量が多く <sup>2)</sup> 、slimeがF・Mg <sup>3)</sup> を消費する。 ② 1400°C以下では、二次酸化に伴うslimeの生成により、F・Mg消費 . Fe-Si中の酸素 . 大気接触(低炉・バブリングの乱流面) . Fe-SiからのAlの混入 . 鋼による酸化→slime生成→F・Mg消費	① 2500DC・SP(2A194), 3600EX・EP(2A188, 189, 214), 4000DC・SP(2A139), 80MN・EX・メインSH(4A061) ② ①項と同じ	① 未経験、現象として認識したことはない。 ③ 認識はしているが、確認したことはない。 ④ 状態図からみた介在物生成温度 . Mg-Si-Al(黒鉛より濃い灰色) . RE-Mg-Si-P-S-Ca-Fe(金色) . 生成後のCGに接していた介在物 . Mg-Si-Al(黒鉛より濃い灰色) . Fe-Ca-Al(基地と同色、空洞の多い立方体) . その他、液滴Mg	* F・Mg = T・Mg - I・Mg F・Mg; フリーMg ≈ 気泡Mg T・Mg; トータルMg = 残留Mg I・Mg; 介在物Mg = T・Mg - F・Mg		
	② Si量調整							
	③ 鋼屑							
	溶湯処理							
	① 处理温度が低い							
	② 处理温度が高い							
	③ 处理合金成分							
	③ Al, Ca, Ce, T-O, TN, H <sup>10)</sup> 含有量が高 <sup>11)</sup> 。							
	① 温度							
	② 放酸化							
	鉄込み							
	① 1380°C以下の鉄込みで晶出。UBSでは取銅温度。							
押湯ネック材	① 断熱ネック M・Al <sup>4</sup> , Al <sub>2</sub> O <sub>3</sub>	③ 下記PTS フラン鉄型と同じ。	① 浸AIして共晶温度上昇。及び介在物生成。 ② 分解ガス [O] [H]によるF・Mg消費 ③ 東芝、ステータ押え板 (ダホール, 2V636)。未確認・証明。	① 東芝、ステータ押え板 (ダホール, 2V636)。未確認・証明。 ② RVSC2500 ボトムプレート ③ 東芝、ステータ押え板 (GE7F)。未確認・証明。	* 状態図からみた介在物生成温度 . Mg <sub>2</sub> SiO <sub>4</sub> T <sub>1450</sub> → T <sub>s</sub> 1350°C . Mg <sub>2</sub> Si 1085 ~ 1103°C . Mg <sub>2</sub> N <sub>2</sub> 1147°C . Mg <sub>3</sub> S <sub>2</sub> 1245 ± 5°C . Mg <sub>2</sub> Ca 715°C . Mg <sub>17</sub> Al <sub>12</sub> 450°C . Mg <sub>x</sub> Fe <sub>y</sub> Fe <sub>7</sub> Ce <sub>2</sub> 1063°C . Mg <sub>2</sub> Ce 796°C . Mg <sub>2</sub> Al <sub>a</sub> 798°C . Fe <sub>17</sub> Ce <sub>2</sub> 1200°C . Fe <sub>17</sub> Sm <sub>2</sub> 1270°C . Fe <sub>17</sub> Pr <sub>2</sub> 1360°C . Fe <sub>17</sub> Nd <sub>2</sub> 1390°C . Fe <sub>17</sub> La 1400°C . Fe <sub>17</sub> Sm <sub>2</sub> 1400°C . Fe <sub>3</sub> Sm 1400°C . Ca <sub>3</sub> Cay 1560°C CexCay Fe <sub>17</sub> Pr <sub>2</sub> Fe <sub>17</sub> Nd <sub>2</sub> Fe <sub>17</sub> La Fe <sub>17</sub> Sm <sub>2</sub> Fe <sub>3</sub> Sm Ca <sub>3</sub> Ca <sub>2</sub> Si Ca <sub>x</sub> Fe <sub>y</sub> Al <sub>2</sub> Ca Fe <sub>2</sub> Al <sub>5</sub>	* F・Mg = T・Mg - I・Mg F・Mg; フリーMg ≈ 気泡Mg T・Mg; トータルMg = 残留Mg I・Mg; 介在物Mg = T・Mg - F・Mg		
	② 断熱ネックの水分							
	③ フラン砂ネックのガス							
	フラン鉄型の燃焼ガス <sup>5)</sup> <sup>6)</sup>							
	その他、鋳型材等(P源)							
	鉄物の肉厚が長い							
	① 凝固開始までの時間 <sup>7)</sup>							
	② 長時間凝固 <sup>7)</sup>							
	③ 凝固膨張力が大							





特徴	チャンキイ黒鉛部	健全部	文献
① 初晶温度が高い、	1220°C *	1180°C *	
② 初晶から共晶までの時間が長い、(II)	60分*	20分*	
③ 共晶温度が高い、	1170°C *	1150°C *	CGの生成は、SG生成温度より高く、共晶平衡温度近くでおこる。
④ 共晶時間が長い、(III)	150分*	30分*	

\* 実例値

高压下での融点上昇。  
Si の均一化では、逆に融点(液相)は下がる。

図1 厚肉部におけるチャンキイ黒鉛晶出時の凝固冷却カーブの特徴<sup>7)</sup>

### 溶湯中の不純物、RE 及び黒鉛組織の関係

#### 微量不純物

A<sub>1</sub>, A<sub>s</sub>, B<sub>i</sub>, P<sub>b</sub>, S<sub>b</sub>, S<sub>n</sub> 含有量が微量であっても、ある許容量を超えると黒鉛粒間に

REによる微量不純物の無害化  
球状化補助元素として球状化剤中に含有させてあるREは、上述の不純物元素の悪影響を防止する意味で添加されている。

過度のRE含有 (→どんな役割、液相によく溶けて、固相では分離? 混遊粒子→プラウン運動→)  
チャンキイ黒鉛を生成させる<sup>8)</sup>。 状態図確認要  
Ce 介在物  
Ce 液滴

RE過多の無害化  
S<sub>b</sub>, S<sub>n</sub> の添加が一般的<sup>8)</sup>。 但し、厚肉では S<sub>n</sub> は使えない。

## 参考文献

- 1) S.I.Karsav, "Ductile Iron I: Production," QIT-Fer et Titane Inc. (1992), P49.
- 2) 『低周波炉による鉄の溶解作業』日本強制鉄協会 (1976), P183.
- 3) H.Itofuji, "The Influence of Free Magnesium on Some Properties in Spheroidal Graphite Irons," Int.J.Cast Metals Res.,(1999)12, P179-187.
- 4) 私見
- 5) 『有機粘結剤の発生ガスによる球状黒鉛鉄の欠陥発生の研究』(財) 総合鋳物センター, 研究報告 249 (1979).
- 6) 『鋳物からのガスによる鋳造欠陥の対策法の研究報告 (II); 球状黒鉛鉄における表面層異常組織の生成とその防止対策』(財) 総合鋳物センター, 研究報告 250 (1979).
- 7) H.Itofuji, "Study on Graphite Spheroidization in Cast Irons," Doctoral Degree Thesis at Kyoto University (1993).
- 8) 稲藤春喜「大型厚肉 FCD・FC の文献レビュー」鋳造工学, Vol.72 (2000), 11, P743-744.
- 9) B.Prinz, 他 「球状黒鉛鉄に見られる Chunky G の成因に関する研究」 Giessereiforschung, 43 (1991), 3, P107-115.
- 10) M.Gagne, et al., "Heavy Section Ductile Iron Castings--Part 1; Structure and Properties," Proceedings of an International Casting Technology, Kalamazoo, Michigan, USA (1986) 12-14 Nov., P231-244.

参考表 化学成分毎の  $\text{SiO}_2 + 2\text{C} = \text{Si} + 2\text{CO}$  平衡温度計算結果

C	Si	$K = \text{Si}/C^2$	$\log K$	$\log K - 15.49$	$T_G(\text{K})$	$T_G(\text{°C})$
3.50	1.25	0.1020	-0.9914	-16.4814	1668	1395
3.50	1.50	0.1224	-0.9122	-16.4022	1676	1403
(3.60)	(1.57)	(0.1211)	(-0.9167)	(-16.4067)	(1675)	(1402)
3.50	1.75	0.1429	-0.8450	-16.3350	1683	1410
3.50	2.00	0.1633	-0.7870	-16.2770	1689	1416
3.50	2.25	0.1837	-0.7359	-16.2259	1694	1421
3.50	2.50	0.2041	-0.6902	-16.1802	1699	1426
3.50	2.75	0.2245	-0.6488	-16.1388	1703	1430
3.50	3.00	0.2449	-0.6110	-16.1010	1707	1434
3.50	3.25	0.2653	-0.5763	-16.0663	1711	1438

$$\log K = \log [\text{Si}] / [\text{C}]^2 = -27486 / T_G + 15.47$$

K : 平衡定数

TG : 臨界平衡温度 ( $K = \text{°C} + 273$ )

← 3.50C, 1.50Si

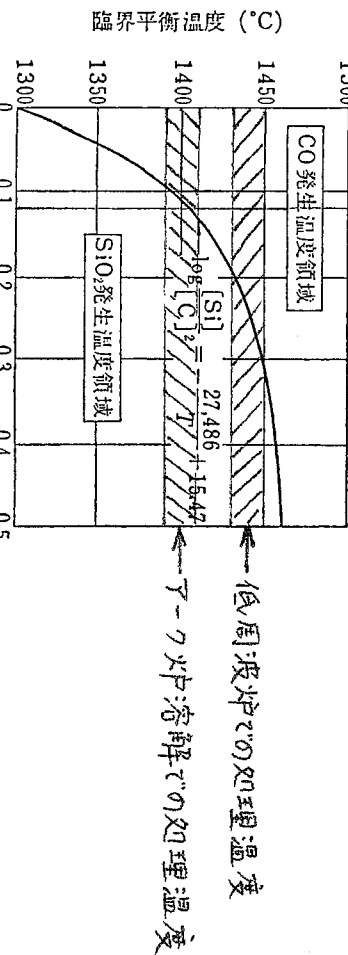


図 7-6 臨界平衡温度  $T$  と Si との関係<sup>2)</sup>

#### 4. Mg 気泡の大きさ

液体中に存在する気泡の内圧と気泡にかかる液体圧力との関係を表わす一般式を、Mg 気泡の場合にあてはめて見た。その一般式を(1)式に示す。式より、Mg の蒸気圧を気泡内圧力とし、その圧力に釣合う気泡径を算出してみた。計算結果をTable 3に示す。

$$P_{\text{Ms}} \geq P_a + \rho gh + 2\gamma/r$$

[Average value of Table 1]

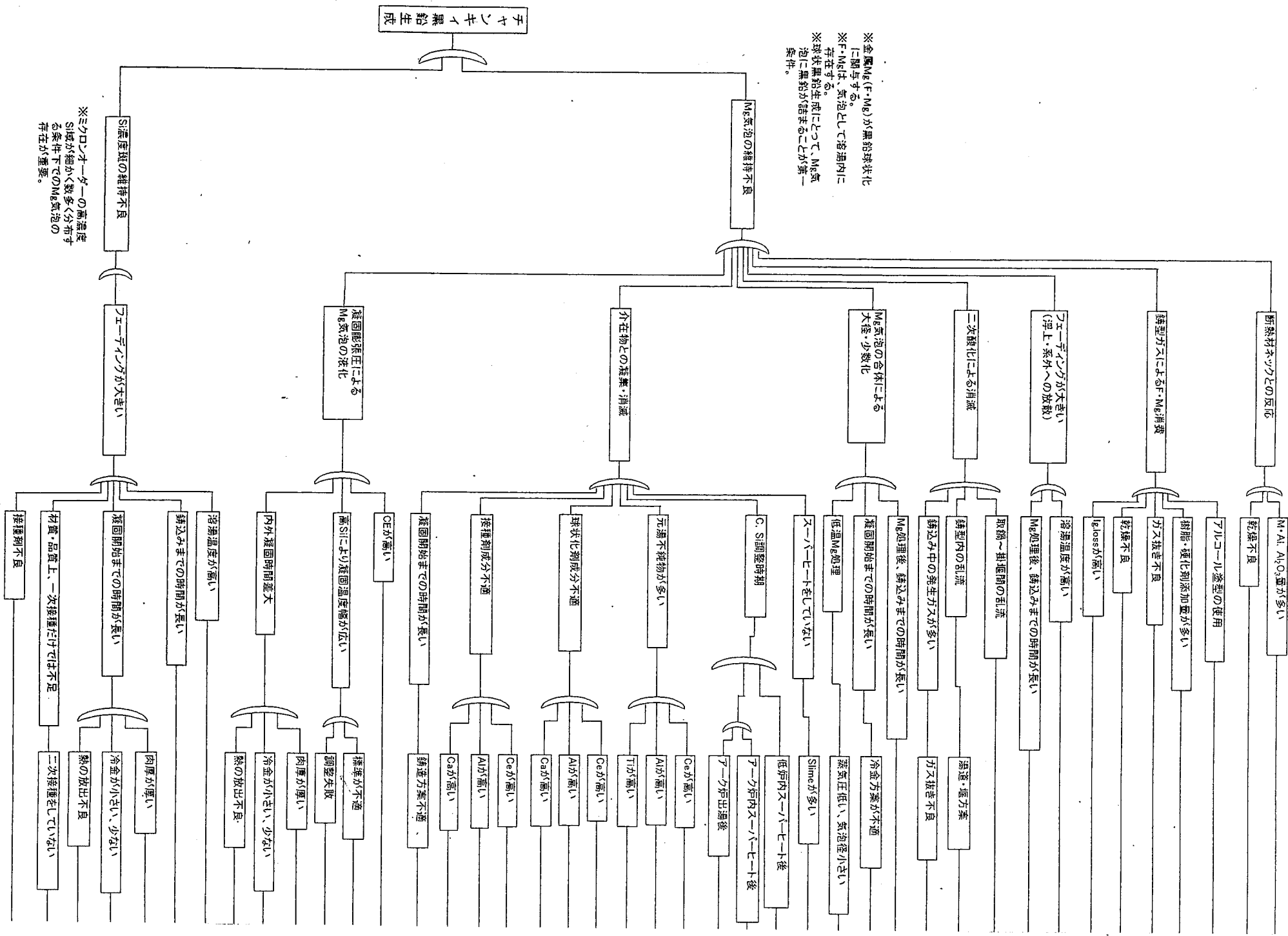
$P_a$	: Pressure in atmosphere	.....	Latm = $1.013 \times 10^6 \text{ dyn/cm}^2$
$\rho$	: Molten density <sup>1)~3)</sup>	.....	$6.7 \text{ g/cm}^3$ ( $6.5 \sim 6.9 \text{ g/cm}^3$ )
$g$	: Acceleration	.....	$980 \text{ cm/sec}^2$
$h$	: Molten depth	.....	1~500cm
$\gamma$	: Surface Tension of molten <sup>4)</sup>	.....	$1350 \text{ dyn/cm}$ ( $1355^\circ\text{C}$ )
$r$	: Bubble radius	.....	?cm

#### References

- K. Löberg, "Die Oberflächenspannung magnesiumfreier und magnesiumhaltiger naheutektischer Eisen-Kohlenstoff-Legierungen mit Zusätzen von Wismut, Blei, Kupfer, Titan und Zirkon und ihre Bedeutung für die Bildung von Kugelgraphit," Giessereitechn.-wiss., Heft 4 (1966), 189.
- C.F. Walton and T.J. Opar, "Iron Casting Handbook," Iron Casting Society, Inc. publishing, (1981), 486.
- Japan Foundrymen's Society, "IMONO Handbook, 4th edition," Maruzen Co., Ltd publishing, (1986), 4.
- Table 2(Data collected from other papers)
- Table 1(Data collected from other papers)

Table 3 Estimated bubble radius at several Temperatures in molten iron treated with Mg.

Mg Vapour Pressure atm (°C)	Bubble diameter, μm			
	$h = 1\text{cm}$	$h = 10\text{cm}$	$h = 100\text{cm}$	$h = 500\text{cm}$
2.1 (1200)	49	51	108	—
4.2 (1300)	17	17	21	—
5.6 (1350)	12	12	13	40
7.6 (1400)	8	8	9	16
10.0 (1450)	6	6	6	9
12.9 (1500)	4	5	5	6
20.7 (1600)	3	3	3	3



# 図 4-2 黒金鉄第1における浴湯の管理マニ

